

ПЕРСПЕКТИВЫ ГРАНИТОИДОВ БАРАНГУЛОВСКОГО МАССИВА НА ТАНТАЛ-НИОБИЕВОЕ ОРУДЕНЕНИЕ, ЗОНА УРАЛТАУ

В.И.Сначёв

Институт геологии
Уфимского научного центра РАН,
г. Уфа

Рассмотрены геологическое строение Барангуловского габбро-гранитного массива, петрографические и минералогические особенности слагающих его пород, изучены физико-химические условия кристаллизации гранитов, содержания в них тантала и ниobia. Показано, что наибольшими перспективами на редкометальные элементы обладают лейкократовые грейзенизированные граниты, альбититы и дайки аплитов, расположенные в восточной эндоконтактовой зоне Барангуловского массива. Предложены конкретные методы для проведения дальнейших поисковых работ.

Ключевые слова: Барангуловский массив, тантал, ниобий, зона Уралтау, редкометальная минерализация, граниты, грейзенизация.

Редкометальные граниты всегда имели важное значение в качестве источника промышленного получения тантала и ниobia. В последнем анализе минерально-сырьевой базы России на эти элементы редкометальные граниты включены в число основных источников для производства тантала и ниobia. С редкометальными гранитами связаны также месторождения олова, вольфрама, бериллия, крупнейшие из которых известны в Приморье, Якутии и Забайкалье.

В современных геолого-генетических моделях редкометальные граниты, в том числе руды, рассматриваются как интрузивные образования. В отличие от обычных гранитоидов массивы редкометальных гранитов представляют собой малые интрузивы с размерами в плане, как правило, от долей до первых километров. Чаще это пологие тела мощностью до нескольких сотен метров, иногда штоки, реже силлы и дайки.

Считается, что обнаружение разновидности редкометальных гранитов из любой части сложенного ими геологического тела является находкой как минимум рудопроявления, а нередко – месторождения [1]. Образование та-

ких гранитов связывают с финалом развития гомодромных гранитоидных серий – предельных продуктов дифференциации глубинных очагов магмы в умеренно коллизионных обстановках. Интрузивные тела состоят из нескольких фаз становления и могут сопровождаться собственными пегматитами, метасоматитами, гидротермалитами. Часто располагаются между телами обычных гранитов и вмещающими толщами, создавая впечатление магматической, метасоматической и рудной зональности в едином гранитном куполе.

В силу незначительного развития гранитоидного магматизма в пределах западного склона Южного Урала редкометальное оруденение, как полагалось ранее, для него не характерно. Здесь известно всего несколько относительно крупных кислых интрузий – Барангуловский, Мазаринский, Артлынский (Уралтауский антиклиниорий), Бердяушский, Рябиновский, Ахмеровский (Башкирский антиклиниорий) массивы, среди которых только первый представлял определённый интерес для поисков тантала и ниobia (рис. 1) [7].

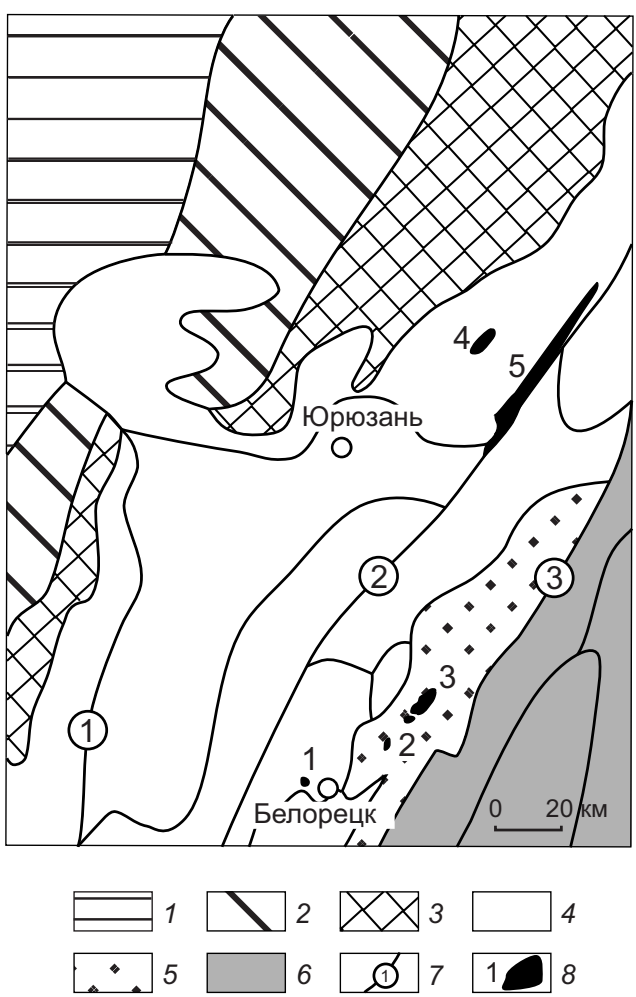


Рис. 1. Геологическая схема расположения гранитных массивов западного склона Южного Урала (по материалам В.И.Козлова и др., 1969 г.):

1 – Восточно-Европейская платформа; 2 – Предуральский краевой прогиб; мегазоны: 3 – Западно-Уральская, 4 – Центрально-Уральская, 5 – Уралтауская, 6 – Магнитогорская; 7 – разломы (1 – Зильмердакский, 2 – Зюраткульский, 3 – Главный Уральский); 8 – гранитные массивы (1 – Ахмеровский, 2 – Мазаринский, 3 – Баранголовский, 4 – Бердяушский, 5 – Рябиновский)

В структуре Южного Урала зона Уралтау, сложенная позднепротерозойскими (?) максютовским и суванякским метаморфическими комплексами, занимает краевую часть палеоконтинентального сектора, отделённого от островодужных образований Магнитогорского прогиба Главным Уральским разломом. Последний маркируется на поверхности линейными телами ги-

пербазитов и зоной серпентинитового меланжа [8], включающего блоки вулканогенных и вулканогенно-осадочных пород палеозойского возраста. Часть восточного крыла Уралтауского антиклиниория перекрыта надвинутыми с востока палеозойскими образованиями Магнитогорского прогиба. Западная граница зоны Уралтау с Зилаирским прогибом также тектоническая и определяется надвиговыми нарушениями западного падения и присутствием гипербазитовых массивов в пределах последнего [3].

Баранголовский габбро-гранитный массив расположен в северной части Уралтауской мегазоны в верховьях р. Рясток и ручьёв Городской Ключ, Вишнёвый Дол. Представлен вытянутым в северо-восточном направлении линзовидным телом размером 11×4 км с неоднородным внутренним строением (рис. 2). Гранитная часть массива обнажена в виде узкой полосы в основном вдоль восточной его периферии, а также проявлены небольшими линзовидными телами на западном фланге, тогда как породы габбрового состава слагают южное и северное замыкания массива и наиболее развиты в его центральной части. Породы комплекса имеют интрузивный характер соотношения с отложениями мазаринской свиты ($R_3mz?$), выражющийся, прежде всего, в наличии экзо- и эндоконтактовых ореолов вторичного гидротермального минералообразования.

Граниты преимущественно массивные, средне-крупнозернистые с хорошо различимыми вкраплениками плагиоклаза (15–60%), кварца (15–50%), калиевого полевого шпата (10–50%), биотита (2–10%), мусковита (5–40%) [9]. Отмечаются акцессорные примеси апатита, флюорита, сфена, рутила, циркона, ильменита, анатаза, турмалина, монацита. Лейкократовые граниты имеют близкий состав пордообразующих минералов, но отличаются значительно меньшим количеством биотита (1–2%) и существенно большей концентрацией первичного микроклина. Другая их особенность – устойчивое присутствие флюорита, накапливающегося в мусковитизированных и альбитизированных разностях в количестве до 2–3%. Абсолютный возраст пород Баранголовского массива, полученный изотопным уран-свинцовским методом по цирконам, составляет для габбро 728 ± 8 , гранитов 723 ± 10 млн лет [6], что позволяет относить интрузивный комплекс к позднему рифию. Авторы

подчёркивают полихронность цирконов Баранголовского массива и допускают более раннее образование габбро по сравнению с гранитами.

В 1964 г. Белорецким отрядом Центрально-Уральской партии в пределах Баранголовского гранитного массива установлено Вишнёвское проявление уран-ториевой минерализации. При его детализации были выделены первичные ореолы концентрации радиоактивных элементов, связанные с коренными выходами грейзенизованных гранитов, и вторичные ореолы рассеяния этих элементов, приуроченные к современным глинистым образованиям. В пробах грейзенизованных гранитов химическим анализом определены до 0,011 Th, до 0,014% U, а спектральным – концентрации Nb 0,01–0,04, Ce 0,6, La 0,3–0,6, Y 0,1–0,3, Yb 0,01%. Как показали исследования, повышенная радиоактивность грейзенизованных гранитов вызвана присутствием в них таких торийсодержащих минералов, как ортит и циркон. Кроме того, минералогическим анализом в пробах обнаружен минерал жёлто-бурового цвета предположительно из группы ниобатов. По результатам работ выделен Баранголовский поисковый участок, расположенный в верховьях р. Рясток и ручьёв Городской Ключ, Вишнёвый Дол.

В дальнейшем детальные работы на этом участке осуществлял В.И.Козлов и др. (1969 г.). Они включали радиометрическое изучение пород с применением горных, буровых и геофизических работ и сопровождались отбором большого количества штуфных, литохимических и металлометрических проб. Проведёнными работами, во многом подтвердившими ранее полученные результаты, было установлено:

- гранитный массив имеет весьма слабый эрозионный срез, что значительно увеличивает его перспективы в отношении поисков редкометальной и радиоактивной минерализации на глубину;
- повышенная радиоактивность и редкоземельно-редкометальная минерализация связаны с метасоматическими изменениями гранитов – грейзенизацией, альбитизацией, микроклинизацией;
- минералогический анализ проб-протолочек показал наличие в гранитах акцессорных примесей флюорита, монацита, ксенотима, апатита, сфена, ортита, циркона, ильменита;

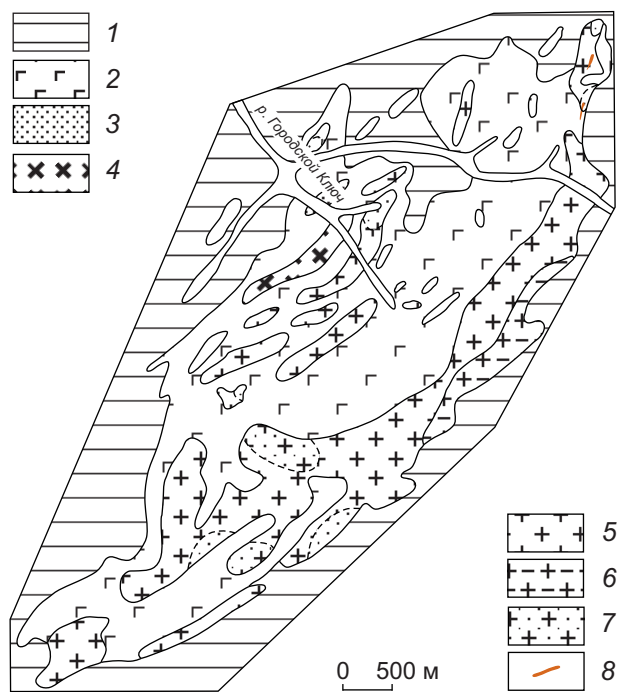


Рис. 2. Схематическая геологическая карта Баранголовского габбро-гранитного массива (по материалам В.И.Козлова и др., 1969 г.):

1 – мазаринская свита; 2 – габброиды; 3 – гибридные породы; 4 – диориты; 5 – граниты; 6 – гнейсовидные граниты; 7 – грейзенизованные граниты; 8 – дайки аплитов и гранит-порфиров

- зоны повышенного рассланцевания и изменения гранитоидов и их эндоконтакты содержат высокие концентрации редкоземельных и редкометальных элементов;
- хотя участки с промышленными содержаниями редкометального оруденения не обнаружены, вероятность концентрации редких металлов в эндо- и экзоконтактовой зоне гранитной интрузии на сравнительно небольшой глубине (100–150 м) высока.

В результате выполненных авторами в 2001–2008 гг. исследований была выделена в качестве наиболее перспективной на проведение дальнейших поисковых и буровых работ южная часть Баранголовского массива, расположенная в верховьях р. Рясток [9]. Петролого-геохимическое изучение пород показало, что массив принадлежит к формации мезо-гипабиссальных дифференцированных гранитных комплексов, ха-

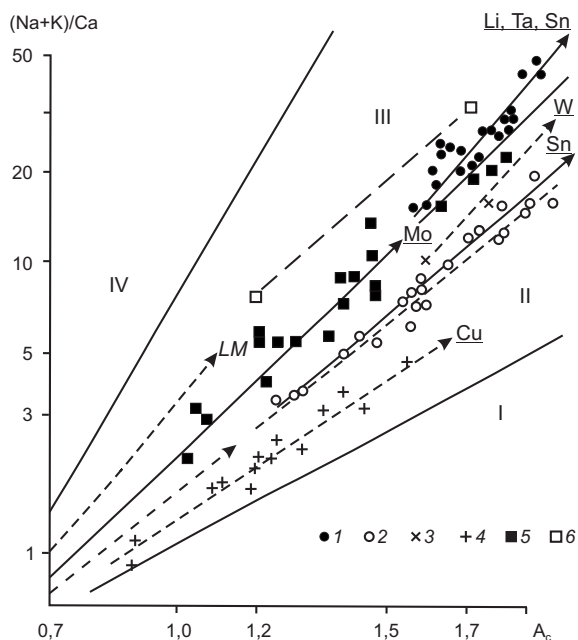


Рис. 3. Эталонные тренды рудогенных гранитоидных формаций на диаграмме $(\text{Na}+\text{K})/\text{Ca}$ – A_c :

тренды составов гранитоидов по месторождениям и рудным районам различных регионов мира: 1 – Li, Ta, Sn, 2 – Sn, 3 – W, 4 – Cu, 5 – Mo; 6 – тренд лейкократовых танталоносных гранитов Барангуловского массива; классификационные поля: I – известковое, II – известково-щелочное, III – субщелочное, IV – щелочное; LM – латитовый (монцонитовый) тренд; A_c – универсальный параметр общей кислотности-основности магматитов [2]

рактерных для консолидированных складчатых областей и срединных массивов, где обычно развита редкометально-редкоземельная минерализация. На основе петрохимических данных установлено соответствие составов гранитоидов субщелочным магматическим сериям и эталонному Li-, Ta-, Nb-, Sn-тренду рудогенных гранитоидных формаций (рис. 3) [2].

Для оценки условий формирования гранитоидов, как правило, используются три основных параметра: температура гомогенизации включений, давление и концентрация воды в расплаве. Кроме того, важную информацию несут дополнительные параметры – концентрация солей и хлора во флюиде, объём и плотность флюида и т.д. Температура кристаллизации кварца и

наложенных процессов определяется по моменту гомогенизации соответственно расплавных и газово-жидких включений, а давление – по давлению воды в системе расплав–включение. Наличие расплавных включений свидетельствует о первично-магматической природе гранитоидов Барангуловского массива. Вместе с тем, анализ результатов изучения газово-жидких включений показывает, что граниты подверглись автометасоматическим изменениям, которые зафиксированы во включениях температурными пиками в 150–170 и 330–350°C.

Для приблизительной оценки глубинности становления гранитов рассматриваемого комплекса составлена диаграмма в координатах $P-T$ (рис. 4), на которую вместе с уральскими кислыми интрузивами для сравнения вынесены гранитоиды Монголо-Охотской зоны известных фаций глубинности [5]. Из диаграммы следует, что точки, характеризующие Барангуловский массив, ложатся в область гипабиссальной фации глубинности и расположены между линиями солидуса систем гранит– H_2O и гранит– CO_2 . Давление воды в расплавных включениях, связанное пропорциональной зависимостью с давлением системы в момент кристаллизации расплава, составляет 2,1–5,4 Кбар, температура кристаллизации пород – 830–870°C. Исходя из общепринятых представлений о повышении температуры и понижении давления на верхних уровнях эрозионного среза интрузий [4], можно сделать вывод о становлении барангуловских гранитоидов на гипабиссальном уровне.

Весьма важные характеристики расплава – флюидонасыщенность и состав флюида, особенно содержание в нём хлора, обеспечивающего экстракцию и перенос многих металлов [5]. На большом фактическом материале по Монголо-Охотской зоне в данной работе определено, что в рудоносных гранитоидах, в частности редкометальных, довольно высоки концентрации хлора, воды и растворённых в ней солей. По этим параметрам граниты Барангуловского массива приближаются к лейкократовым редкометальным гранитам завершающих плутонических серий.

Среди кислых интрузивных пород были выделены нормальные граниты, их лейкократовые слюдизированные (микроклин-кварц-альбитовые) разновидности и альбититы завершающей жильной серии (рис. 5).

Кварцевые диориты распространены достаточно ограниченно. В качестве самостоятельных образований они известны только в западной краевой части массива, где слагают единственное тело линзовидной формы размером ~100 м в поперечнике. В виде небольших тел неясной морфологии кварцевые диориты встречаются непосредственно среди гранитов, но здесь они, по-видимому, не имеют самостоятельного значения.

Нормальные граниты слагают самую большую часть кислой интрузии и в наименее измененных разностях представлены преимущественно массивными средне- и крупнозернистыми породами светло-серого и зеленовато-серого цвета с хорошо различимыми вкрапленниками полевых шпатов, кварца, мусковита, биотита.

Лейкократовые граниты известны в небольшом объеме среди нормальных гранитов. Обычно развиты в зонах интенсивного рассланцевания и катаклаза. Их характерная особенность – светло-серый до белого цвет, обусловленный высокой концентрацией лейкократовых минералов (полевой шпат (альбит?), кварц, слюда). Структурные соотношения с нормальными гранитами не ясны. Лейкократовые граниты, возможно, являются продуктами динамотермального преобразования нормальных гранитов или поздними дифференциатами гранитной магмы, образующими небольшие куполовидные или дайкообразные тела, претерпевшие постмагматический динамометаморфизм.

Альбититы относятся к породам жильной фазы габбро-гранитного комплекса. Слагают, по-видимому, дайки-апофизы, наследующие зоны скрытых разломов. Два таких дайкообразных тела мощностью ~2 м отмечены в южной части массива вблизи контакта гранитов и габбродиабазов. Альбититы представляют собой массивные белые мелкозернистые породы, почти полностью состоящие из таблитчатых выделений альбита. Характерная особенность – присутствие вкрапленности магнетита. В этих породах под бинолупой обнаружены мелкие зёрна циркона и бурого минерала, возможно, из группы tantalita-ниобия.

Особый интерес представляют лейкократовые граниты, являющиеся поздними дифференциатами гранитной магмы, образующими небольшие куполовидные или дайкообразные тела среди нормальных гранитов. Именно в них ус-

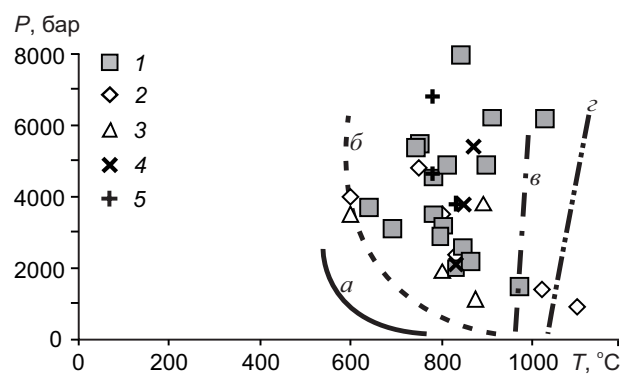


Рис. 4. Вариации температуры кристаллизации и давления флюида для гранитоидов Монголо-Охотской зоны и гранитов Барангуловского комплекса:

фации глубинности для гранитоидов Монголо-Охотской зоны: 1 – гипабиссальная, 2 – гипабиссально-приповерхностная, 3 – поверхностная; граниты: 4 – Барангуловский, 5 – Мазаринский массивы; линии солидуса систем: онгонит–H₂O (a), гранит–H₂O (b), гранит–CO₂ (в), «сухого» ликвидуса мусковитового гранита (г)

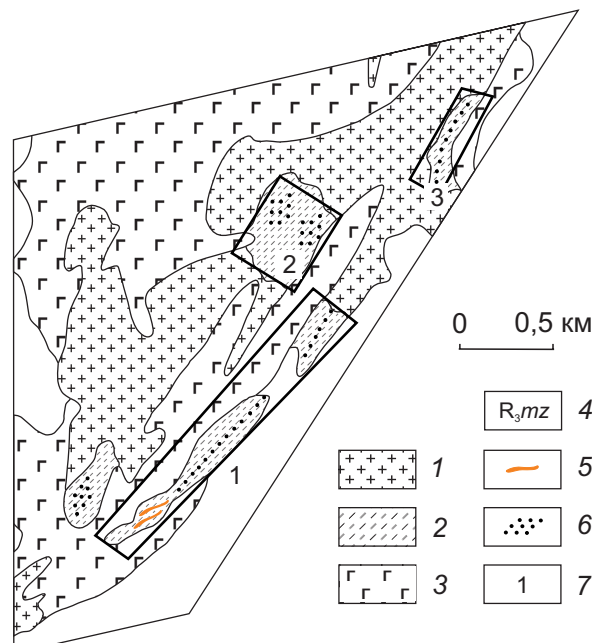


Рис. 5. Геологическое строение Барангуловской площади с выделенными перспективными участками на поиски tantalita и ниобия:

1 – граниты; 2 – лейкограниты грейзенизированные, катаклазированные, слюдизированные; 3 – габбродиабазы; 4 – отложения мазаринской свиты (слюдисто-кварцевые сланцы); 5 – альбититы; 6 – зоны рассланцевания; 7 – перспективные участки на Ta и Nb

**1. Содержания Та и Nb в гранитоидах
Барангуловского участка, %
(пробы анализировались спектрально-
количественным методом, ВИМС)**

| Номера проб | Содержания элементов | | |
|-------------|----------------------|--------|--------|
| | Nb | Ta | Y |
| 1/2 | 0,01 | 0,011 | - |
| 1/4 | 0,019 | 0,0095 | - |
| 1/4* | 0,01 | 0,0075 | - |
| 1/5* | 0,01 | 0,0078 | - |
| 1/5 | <0,01 | <0,005 | 0,019 |
| 1/8 | 0,017 | 0,0075 | 0,012 |
| 2/10 | 0,01 | 0,01 | - |
| 2/6 | 0,012 | 0,0075 | - |
| 4/3 | <0,01 | 0,0085 | - |
| 4/4* | 0,005 | 0,005 | 0,0013 |

становлена комплексная геохимическая специализация на бериллий, фтор, ниобий и олово, что обычно свойственно редкометальным гранитам микроклин-кварц-альбит-мусковитового состава. В этих гранитах минералогическим анализом обнаружены единичные мелкие зёрна колумбита, а спектрально-количественный анализ штуфных проб (АСИЦ ВИМСа, г. Москва) показал в десяти образцах содержания Nb 0,005–0,019, Ta 0,005–0,011, Y до 0,019% (табл. 1) [7]. На двух наиболее грейзенизованных участках в пределах южного окончания Барангуловского массива (см. рис. 5) проведены дополнительные работы по изучению Та-Nb минерализации. Рентгенорадиометрическим методом выполнено 60 анализов штуфных проб (ГЕОХИ, г. Москва, аналитик А.Л.Лоренц) (табл. 2). В результате получены весьма обнадёживающие данные. Так, в 20 пробах выявлены содержания $Ta_2O_5 > 0,008\%$, что соответствует нижнему пределу бедных

**2. Содержания Та и Nb в гранитоидах Барангуловского участка, %
(пробы анализировались рентгенорадиометрическим методом, ГЕОХИ)**

| Номера образцов | Ta ₂ O ₅ | Nb ₂ O ₅ | Номера образцов | Ta ₂ O ₅ | Nb ₂ O ₅ | Номера образцов | Ta ₂ O ₅ | Nb ₂ O ₅ |
|-----------------|--------------------------------|--------------------------------|-----------------|--------------------------------|--------------------------------|-----------------|--------------------------------|--------------------------------|
| 68 | 0,014 | - | 109 | 0,003 | - | 130 | 0,009 | 0,004 |
| 70 | 0,003 | 0,003 | 110 | 0,007 | 0,003 | 131 | 0,02 | 0,034 |
| 73 | 0,002 | - | 111 | - | - | 132 | 0,003 | 0,003 |
| 74 | 0,004 | - | 112 | 0,008 | - | 133 | 0,01 | 0,005 |
| 78 | - | 0,002 | 113 | - | 0,002 | 134 | 0,007 | 0,002 |
| 79 | - | 0,006 | 114 | 0,011 | 0,006 | 135 | 0,008 | 0,003 |
| 83 | 0,003 | 0,001 | 115 | 0,004 | 0,001 | 136 | 0,009 | 0,002 |
| 84 | 0,001 | 0,001 | 116 | 0,004 | 0,001 | 137 | 0,006 | 0,003 |
| 85 | - | 0,003 | 117 | 0,004 | 0,003 | 138 | 0,005 | 0,001 |
| 86 | 0,007 | - | 119 | 0,006 | - | 139 | 0,007 | 0,003 |
| 87 | 0,021 | 0,001 | 120a | 0,012 | 0,001 | 140 | 0,01 | 0,002 |
| 97 | - | - | 121 | 0,006 | - | 141 | 0,003 | 0,002 |
| 98 | 0,001 | 0,046 | 122 | 0,004 | 0,046 | 142 | 0,009 | 0,003 |
| 99 | 0,001 | 0,01 | 123 | 0,0015 | 0,01 | 143 | 0,01 | 0,001 |
| 101 | 0,002 | 0,006 | 124 | 0,008 | 0,006 | 144 | 0,0015 | - |
| 103 | 0,004 | 0,006 | 125 | 0,008 | 0,006 | 145 | 0,003 | 0,001 |
| 104 | 0,003 | 0,009 | 126 | 0,009 | 0,009 | 102 | - | 0,002 |
| 106 | 0,002 | 0,005 | 127 | 0,008 | 0,005 | 105 | - | 0,001 |
| 107 | - | 0,005 | 128 | 0,009 | 0,005 | 118 | 0,002 | 0,001 |
| 108 | 0,001 | 0,0012 | 129 | 0,005 | 0,003 | 120б | 0,009 | 0,004 |

руд на редкоземельных месторождениях. Наибольшие содержания Ta_2O_5 в пробах достигают 0,021, Nb_2O_5 – 0,046%.

Кроме того, в грейзенизованных гранитах взяты три пробы-протолочки массой 5 кг. Они проанализированы спектрально-количественным методом в АСИЦ ВИМСа. Результаты исследований следующие: пробы 5068 (Ta_2O_5 0,0016, Nb_2O_5 0,0145%); пробы 5069 (Ta_2O_5 0,0027, Nb_2O_5 0,0300%); пробы 5070 (Ta_2O_5 0,0026, Nb_2O_5 0,0250%). Таким образом, уже первые предварительные исследования грейзенизованных пород Баранголовского массива позволяют говорить о необходимости продолжения поисковых работ, результатом которых должно стать оконтуривание рудных тел в пределах выделенных перспективных участков.

По аналогии с известными рудно-магматическими системами редкометальных гранитов [1] дальнейшие поисковые работы в пределах Баранголовского массива должны быть направлены на выявление исключительно малых интрузий, силлов или даек, пространственно расположенных между телами обычных гранитов и вмещающими толщами. В первую очередь следует предпринять поисковые работы на южном окончании массива, где установлены промышленные содержания ниобия и тантала. Для успешного решения этой задачи в условиях весьма слабой обнажённости важно комплексировать несколько методов прогноза, основанных на различных оценочных критериях. Наиболее эффективным здесь может оказаться совместное применение методов минералого-geoхимической, гамма-шпуровой и шлиховой съёмок в комплексе с различными модификациями морфоструктурного анализа.

СПИСОК ЛИТЕРАТУРЫ

1. Бескин С.М., Марин Ю.Б., Матиас В.В. Так что же такое «редкометальный гранит»? // Зап. Всеросс. минер. об-ва. 1999. Ч. СХХVIII. № 6. С. 28–40.
2. Бородин Л.С. Модельная система петрохимических и металлогенических трендов гранитоидов как основа прогноза месторождений Sn, Li, Ta, Nb, W, Mo, Cu / Геология рудных месторождений. 2004. Т. 46. № 1. С. 3–26.
3. Ковалев С.Г., Сначев В.И. Гипербазитовые массивы Крака (геология, петрология, металлогенез). – Уфа: УНЦ РАН, 1998.
4. Коваль П.В. Региональный геохимический анализ гранитоидов. – Новосибирск: Изд-во СО РАН, 1998.
5. Коваль П.В., Прокофьев В.Ю. Р-Т условия кристаллизации гранитоидов Монголо-Охотской зоны по данным исследования расплавных и флюидных включений // Петрология. 1998. Т. 6. № 5. С. 497–511.
6. О возрасте баранголовского габбро-гранитного комплекса Южного Урала / А.А.Краснобаев, В.И.Козлов, В.Н.Пучков и др. // Геологический сборник. 2007. № 6. С. 7–16.
7. Первые находки Ta-Nb минерализации в гранитоидах западного склона Южного Урала / В.И.Сначев, Д.Е.Савельев, А.В.Сначев и др. // ДАН. 2012. Т. 445. № 4. С. 441–444.
8. Платиноносность гипербазитовых массивов Башкирской части зоны Главного Уральского разлома / С.Е.Знаменский, С.Г.Ковалев, В.И.Сначев и др. // Познание, освоение и сбережение недр Республики Башкортостан. 1994. С. 57.
9. Рыкус М.В., Сначев В.И., Бажин Е.А. Анорогенные граниты западного склона Южного Урала: состав, петрогенезис, минерагения // Электронный научный журнал «Нефтегазовое дело». 2011. № 5. С. 282–301.

Владимир Иванович Сначёв,
доктор геолого-минералогических наук
SAWant@inbox.ru

GRANITE PROSPECTS OF BARANGULOV MASSIF FOR TANTALUM-NIOBIUM MINERALIZATION, URALTAU ZONE

V.I.Snachev

This article briefly reviewed the geological structure of Barangulov gabbro-granite massif, petrography and mineralogy of the rocks composing it. The physical-hemical crystallization conditions of granites, their tantalum and niobium content was studied. It is shown that the greatest prospects for the rare metal elements exist in leucocratic greisenized granite, aplite dikes and albrites located in the eastern endocontact zone of Barangulov array. The article suggests specific methods for further prospecting.

Key words: Barangulov massif, tantalum, niobium, rare-metal mineralization, granite, greisenization, Uraltau zone.